# Федеральное государственное бюджетное образовательное учреждение высшего образования Московский государственный университет имени М.В. Ломоносова Факультет наук о материалах

УТВЕРЖДАЮ
Зам. декана ФНМ по учебной
работе
/А.В. Кнотько /
« <u>_</u> »2016 г.
РАБОЧАЯ ПРОГРАММА ДИСЦИПЛИНЫ
Наименование дисциплины:
Структурная химия и кристаллохимия
Уровень высшего образования:
бакалавриат
Направление подготовки:
04.03.02 Химия, физика и механика материалов
Направленность (профиль)/специализация ОПОП:
общий
Форма обучения: очная
Рабочая программа рассмотрена и одобрена
Методической комиссией факультета наук о материалах
(протокол №, дата)

- **1.** Место дисциплины в структуре ОПОП ВО: базовая часть, профессиональная подготовка, модуль «Химия материалов», курс предназначен для студентов факультета наук о материалах **3-го года обучения (6-й семестр),** курс является обязательным
- 2. Входные требования для освоения дисциплины, предварительные условия (если есть):

Общая химия и химия элементов Математический анализ Высшая алгебра и аналитическая геометрия Квантовая физика Материалы – прошлое, настоящее, будущее

# 3. Результаты обучения по дисциплине:

*Знать:* основные законы и закономерности строения кристаллических веществ, способы аналитического и графического представления кристаллической структуры

Уметь: формулировать конкретные структурно-химические задачи на основе законов и закономерностей, освоенных в курсе кристаллохимии; пользоваться данными рентгенофазового и рентгеноструктурного анализа в химических исследованиях, обобщать полученные результаты Владеть: приемами построения графиков точечных и простейших пространственных групп, методами определения орбит группы, навыками поиска структурно-химических данных в открытых источника (в том числе, в банках структурных данных) и применения их при решении практических химических задач

- 4. Объем дисциплины составляет 4 з.е. (144 ак.ч.)
- 5. Содержание дисциплины, структурированное по темам (разделам) с указанием отведенного на них количества академических часов и виды учебных занятий:
- 5.1. Структура дисциплины по темам (разделам) с указанием отведенного на них количества академических часов и виды учебных занятий (в строгом соответствии с учебным планом)

Вид работы	Семест	_
		Всего
	6	
Общая трудоёмкость, акад. Часов	144	144
Аудиторная работа:	96	96
Лекции, акад. Часов	48	48
Семинары, акад. Часов	48	48
Лабораторные работы, акад. часов		
Самостоятельная работа, акад. Часов	48	48
Вид итогового контроля (зачёт, экзамен)	Экз.	

### 5.2. Содержание разделов (тем) дисциплины

1. Точечные группы симметрии конечных фигур и молекул. 16 ч.

Операции и элементы симметрии. Взаимодействие операций. Собственные и несобственные вращения, хиральные фигуры. Группа операций симметрии. Геометрические образы несобственных вращений в системах Шенфлиса и Германа-Могена, взаимосвязь порядков зеркально-поворотных и инверсионных осей.

Категории симметрии и семейства точечных групп по Шенфлису и Герману-Могену. Точечные группы геометрических фигур и молекул. Симметрия правильных многогранников (платоновых

тел). Формула Эйлера. Орбита точечной группы, кратность орбиты и локальная симметрия ее точек. Симметрически независимая область фигуры. Предельные группы бесконечного порядка (группы Кюри).

### 2. Группы симметрии кристаллов 16 ч.

Трансляционная симметрия и кристаллическая решетка, параметры элементарной ячейки. Кристаллографические закрытые элементы симметрии. Сингонии, голоэдрические группы, кристаллографические классы, классы Лауэ. Связь кристаллографического класса с физическими свойствами. Решетки Браве. Фракционные координаты точки в элементарной ячейке. Кристаллографические направления и кристаллографические плоскости в решетке..

Открытые кристаллографические элементы симметрии, их обозначения и действие. Оси, входящие в состав осей 4k и 6k; энантиоморфные винтовые оси. Взаимодействие открытых и закрытых элементов между собой; их взаимодействие с перпендикулярными и наклонными трансляциями.

Пространственные группы, их символы по Герману-Могену, связь с кристаллографическим классом. Симморфные и несимморфные группы. Системы эквивалентных позиций (орбиты) пространственных групп, кратность общей позиции. Графики простейших групп низших и средних сингоний, их построение по правилам взаимодействия элементов симметрии. Интернациональные таблицы и содержащаяся в них информация о пространственных группах.

### 3. Методы исследования атомной структуры кристаллов 16 ч.

Принцип работы и спектр рентгеновской трубки. Тормозное излучение и характеристические линии. Синхротронное излучение, выработка рентгеновского СИ в ускорителе электронов (накопительном кольце). Дифракция рентгеновского излучения на кристалле. Формула Брегга, кристаллы-монохроматоры. Блок-схема рентгеновского дифрактометра. Мозаичное строение реального кристалла, зависимость полуширины рефлекса от размера области когерентного рассеяния, формула Шерера.

Межплоскостные расстояния и индексы рефлексов, понятие об обратной решетке. Индицирование порошковых дифрактограмм в рентгенофазовом анализе. Относительные интенсивности рефлексов, корундовое число. Закон Фриделя. Банк порошковых данных ICDD. Систематические погасания рефлексов.

Атомный фактор рассеяния. Интегральные интенсивности рефлексов и структурные амплитуды Fhkl. Понятие о проблеме фаз и методах расшифровки кристаллических структур. Основные этапы рентгеноструктурного анализа монокристаллов (PCA). Параметры тепловых колебаний, Rфактор. Представление данных PCA в химических статьях. Банки структурных данных: поиск и обработка содержащейся в них структурной информации.

Основы колебательной спектроскопии, проблемы динамики неорганических характеризующихся большими амплитудами колебаний и существенным ангармонизмом, и использование теории возмущений при теоретическом (базирующемся ИХ квантовомеханических расчетах силовых полей) и полуэмпирическом анализе, задача о взаимодействии излучения с веществом рассматривается в рамках математического аппарата теории представлений точечных и пространственных групп, проблемы интерпретации спектров твердых тел, связанные с необходимостью учета макроскопических эффектов, искажающих оптические свойства кристаллов.

# 4. Атомная структурапростых веществ 16 ч.

Межатомные взаимодействия в кристаллических металлах, зависимость физических свойств металлов от их строения и межатомного связывания. Металлические радиусы. Структуры металлов: плотные и плотнейшие шаровые упаковки (ПК, ПГ, ОЦК, ГПУ, ГЦК); виды и размеры пустот. Полиморфизм и изоморфизм в металлах, многослойные шаровые упаковки. Твердые растворы замещения и внедрения. Простейший интерметаллид Cu3Au, фазовый переход «порядок – беспорядок». Понятие о кластерах и наночастицах металлов. Особенности строения простых

веществ для элементов, примыкающих к неметаллам в Периодической системе, искажения плотнейших упаковок.

Принципы строения неметаллов: ковалентные и ван-дер-ваальсовы взаимодействия, мотивы расположения атомов в кристалле (островной, цепочечный, трубчатый, слоистый, каркасный). Аллотропия, полиморфизм и изоморфизм, политипы в неметаллах. Структуры алмаза, лонсдейлита, □□ и □□графита, Si, Ge, □□ и □□Sn, I2, кристаллических инертных газов. Ротационные фазы H2 и □□N2. Мотивы из атомов и расположение молекул в кристаллах фуллерена C60, □□N2, белого и черного фосфора, желтого и серого As, ромбической и моноклинной серы S8, красного и серого селена. Принципы строения нанотрубок углерода, красного фосфора, пластической и волокнистой серы. Относительные значения длин связей и невалентных контактов в простых веществах неметаллов.

## 5. Структурные типы бинарных и тройных соединений 16 ч.

Бинарные соединения, построенные по принципу плотной упаковки анионов с катионами в пустотах. Ионные кристаллохимические радиусы. Простейшие структурные типы CsCl, NaCl, ZnS (сфалерит, вюрцит), NiAs, флюорит и антифлюорит, рутил, двухслойный и четырехслойный политипы CdI2, CdCl2 и Cs2O. «Корундовый» мотив из катионов и упаковка анионов в □□Al2O3 и FeCl3. «Антикорундовый» мотив (AlF3) Строение M3C60 (M = K, Rb, Cs, Tl) и ионного проводника □□AgI. Корреляции свойств бинарных соединений со структурой и соотношением радиусов ионов. Изоморфное замещение катионов в кристаллах, рубин.

Проявления ковалентного связывания в структурах MoS2, Cu2O, PtS. Полиморфные модификации BN, SiO2 (□□кварц, □□тридимит, □□кристобалит, стишовит), H2O (лед Ih и лед Ic). Принципы построения тройных соединений: халькопирита CuFeS2, ильменита FeTiO3, перовскитов ABO3, нормальных и обращенных («инвертированных») шпинелей AB2O4. Строение ReO3 и NaxWO3; переход кубического BaTiO3 в сегнетоэлектрическую фазу.

Характерные лигандные полиэдры в координационных соединениях. Мостиковая функция лигандов, координационные полиэдры с общими вершинами. Структурные мотивы из ковалентно связанных атомов (островной, цепочечный, ленточный, слоистый, каркасный) в бинарных соединениях. Бинарные фазы с полианионами: CaC2, FeS2 пирит, MgB2. Связи металл-металл и кластеры металлов в бинарных производных низших степеней окисления, фрагменты  $M6(\square 3-X)8$  и  $M6(\square 2-X)12$  (октаэдры M6 с мостиками по граням и ребрам), фазы Шевреля. Клатраты и кристаллогидраты.

### 6. Основные направления современной кристаллохимии 16 ч.

Соли кислородных кислот. Типы координации анионов и их склонность к агрегации в рядах нитраты – карбонаты – бораты и перхлораты – сульфаты – фосфаты – силикаты. Описание структур КСІО4, К2РtСl6, СаСО3 (кальцит, арагонит) по аналогии с простыми структурными типами. Примеры орто-силикатов и орто-алюминатов: циркон ZrSiO4, гранаты AII3BIII2(SiO4)3 (Ca3Al2(SiO4)3 – гроссуляр, Mg3Al2(SiO4)3 – пироп), Y3Al5Ol2 (YAG). Анионные циклы, цепи, ленты, слои и каркасы из тетраэдрических фрагментов ЭО4 с общими вершинами. Принципы строения цеолитов, «содалитовый фонарь» в Na8[Si6Al6O24]Cl2.

Органическая кристаллохимия. Стандартные длины одинарных и кратных связей С-С. Ковалентные и ван-дер-ваальсовы радиусы основных элементов-органогенов: C, H, O, N, F, Cl, Br. Атом-атомные потенциалы И принцип плотной упаковки молекул в органической кристаллохимии, коэффициент упаковки, молекулярное координационное число. «Уплотняющие» преобладающие пространственные «разрыхляющие» элементы симметрии, молекулярных кристаллов. Пространственные группы оптических изомеров и рацематов. Мотивы расположения молекул в кристаллических структурах метана, адамантана, н-алканов, бензола, нафталина, ферроцена. Твердые растворы замещения и внедрения; полиморфизм органических соединений. Паркетный мотив и стопки в расположении уплощенных молекул; комплексы с переносом заряда и ион-радикальные соли. Типы Н-связей: интервалы энергии, расстояний Х••• У, углов X-H•••Y (X, Y = O, N, S, F). Влияние водородных связей на структуру и свойства кристаллов, мотивы Н-связанных молекул. Соли карбоновых кислот, гидрофобное взаимодействие. Органические ротационные фазы и жидкие кристаллы.

Строение координационных и металлоорганических соединений. Плотная упаковка лигандов в координационной сфере атома металла. Псевдовращение Берри. Толмановский угол как характеристика стерических свойств лиганда. Понятие о молекулярных кристаллах с особыми свойствами (проводниках, магнетиках, сегнетоэлектриках). Пайерлсовский переход в кристаллах. Принципы строения полимеров и биополимеров. Кристаллические полиэтилен и полиацетилен. Конформации макромолекул: спираль и статистический клубок. Общие принципы строения белковых макромолекул (соединение пептидных остатков и их конформационные параметры; первичная, вторичная и третичная структура). Геометрические характеристики конформаций Попрали и Попрали и Попратиста. Фибриллярные, мембранные и глобулярные белки. Плотная упаковка элементов вторичной структуры на «поверхности» белковой глобулы. Понятие о РСА белков на синхротронном излучении.

6. Фонд оценочных средств (ФОС, оценочные и методические материалы) для оценивания результатов обучения по дисциплине (модулю).

6.1. Типовые контрольные задания или иные материалы для проведения текущего контроля успеваемости, критерии и шкалы оценивания (в отсутствие утвержденных соответствующих локальных нормативных актов на факультете)

# Раздел 1, КР-1: точечные группы симметрии конечных фигур и молекул.

Операции и элементы симметрии. Взаимодействие закрытых элементов симметрии. Собственные и несобственные вращения.

Точечные группы в обозначениях Шенфлиса. Группы низшей категории симметрии. Семейства групп средней категории симметрии. Группы высшей категории симметрии, их порядки. Симметрия правильных многогранников (платоновых тел). Предельные точечные группы.

Точечные группы в обозначениях Германа-Могена. Связь порядков инверсионных осей с порядками зеркально-поворотных осей системы Шенфлиса. Перевод символов точечных групп из одной системы в другую. Орбита точечной группы, кратность орбиты и локальная симметрия ее

### Раздел 2, КР-2: группы симметрии кристаллов.

Элементарная ячейка кристалла, параметры ячейки. Обозначения примитивных и центрированных кристаллических решеток. Индексы направлений и плоскостей в кристалле. Закрытые кристаллографические элементы симметрии. Сингонии, решетки Браве и кристаллографические классы

Открытые элементы симметрии, их обозначения и действие. Взаимодействие элементов симметрии порядка 2 с перпендикулярными и наклонными трансляциями. Особенности взаимодействия с участием осей порядка выше 2. Взаимодействие кристаллографических (закрытых и открытых) элементов симметрии.

Пространственные группы, связь с решетками Браве и кристаллографическими классами. Системы эквивалентных позиций (орбиты) пространственных групп, кратность орбиты. Частные и общие положения в кристалле. Интернациональные Таблицы. Построение простейших графиков пространственных групп и их орбит.

### Раздел 3, ДЗ: рентгенофазовый анализ.

Принцип работы и спектр рентгеновской трубки. Формула Брегга. Блок-схема рентгеновского дифрактометра. Формула Шерера. Индицирование дифрактограммы кубического кристалла. Межплоскостные расстояния, относительные интенсивности и индексы рефлексов в рентгенофазовом анализе. Корундовое число. Банк порошковых данных ICDD.

### Раздел 3, ДЗ: колебательная спектроскопия.

Решение прямой спектральной задачи для нелинейной молекулы XY2, решение задачи о возмущающем влиянии координационной связи на спектр лиганда в комплексе М–ХY,

нахождение правил отбора для трех молекулярных систем и трех систем с трансляционными элементами симметрии

### Разделы 4 и 5, КР-3: основные структурные типы.

Строение металлов, плотные и плотнейшие шаровые упаковки, размеры пустот. Металлические радиусы. Структурные типы Си, Мg, α-Fe, α-Po. Многослойные упаковки. Искажения идеальных упаковок в структурах Zn, Cd, In, Hg. Твердые растворы замещения, фазовый переход с упорядочением (Си<sub>3</sub>Au).

Структуры алмаза, лонсдейлита, гексагонального графита, α– и β–Sn. Политипы графита. Мотивы расположения молекул в  $\alpha$ -  $N_2$ ,  $\beta$ - $N_2$ ,  $H_2$ , структурном типе  $Cl_2$  ( $I_2$ ), полиморфах фуллерена  $C_{60}$ . Бесконечные мотивы в структурах черного фосфора,  $\alpha$ -As (Sb, Bi),  $\alpha$ -Se (Te). Соотношение длин связей и несвязывающих контактов в кристаллах простых веществ при движении сверху вниз по подгруппе в Периодической системе.

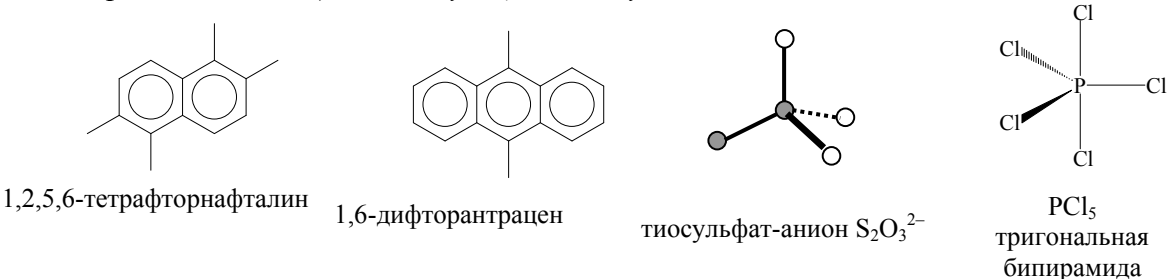
Плотная упаковка анионов с катионами в пустотах в бинарных соединениях. Ионные радиусы. Структурные типы CsCl, NaCl, ZnS (сфалерит, вюрцит), NiAs, CaF<sub>2</sub>. Строение TiO<sub>2</sub> (рутил), C<sub>60</sub>M<sub>3</sub>,  $\alpha$ — $\Box$   $Al_2O_3$  (корундовый мотив заполнения октаэдрических пустот),  $AlF_3$  (антикорундовый мотив). Слоистые структуры LiOH и PbO (анти-LiOH), политипов CdI<sub>2</sub>, Cs<sub>2</sub>O (анти-CdCl<sub>2</sub>), MoS<sub>2</sub> и NbS<sub>2</sub>, FeCl<sub>3</sub>.

бинарных соединений с ковалентным связыванием: BN (кубический Структуры гексагональный), Cu<sub>2</sub>O, PtS, MgB<sub>2</sub>. Принципы строения HgS (киноварь, метациннабарит), BeCl<sub>2</sub>, PdCl<sub>2</sub>, FeS<sub>2</sub>, CaC<sub>2</sub>, Структурные типы перовскита ABO<sub>3</sub> (ReO<sub>3</sub>) и шпинели AB<sub>2</sub>O<sub>4</sub>.

# Варианты контрольных работ

# К разделу 1

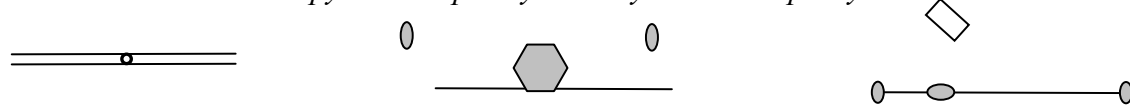
1. Определите точечную группу (международный символ, символ Шёнфлиса) и категорию (низшая, средняя, высшая) для следующих молекул:



2. Выпишите обозначения указанных ниже групп в другой системе  $C_{4h}$ 

3m 6m2  $m \overline{3}$  $S_4$  $C_{4v}$  $D_5$  $D_{5h}$ m 5m

3. Дорисуйте недостающие элементы симметрии в приведенных ниже графиках точечных групп. Выпишите символы этих групп по Герману-Могену и по Шёнфлису



4. Изобразите расположение элементов симметрии точечной группы 42m; покажите на графике все орбиты этой группы, выпишите кратность каждой орбиты.

# К разделу 2

- 1. Изобразите на проекции систему эквивалентных точек
- (a) для оси  $4_2$ , проходящей перпендикулярно (б) для плоскости **п**, совпадающей плоскости рисунка. с плоскостью рисунка
- 2. Изобразите на рисунке расположение элементов симметрии, возникающих в результате взаимодействия

- (a) плоскости **m** и перпендикулярной, к ней оси **2**<sub>1</sub>
- (6) оси  $\overline{3}$  и перпендикулярной к ней трансляции T
- <u>3.</u> Для приведенных ниже пространственных групп определите центрирование решетки (укажите термин), сингонию, кристаллографический класс и кратность общей позиции (т.е. позиции с локальной симметрией 1) в элементарной ячейке.

Символ группы: тип решетки

P6/mcc

 $I2_13$ 

 $I4_1/amd$ 

 $Cmc2_1$ 

Cccm

C2/c

тип решетн сингония:

крист. класс:

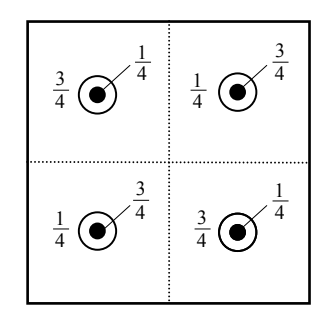
кратность позиции 1:

<u>4.</u> Нарисуйте график пространственной группы **P6**, нанесите на него все (различные) правильные системы точек и укажите их кратность.

# К разделам 4, 5

- 1. В приведенном списке подчеркните вещества, образующие гексагональные кристаллы: Cu, Mg, белое олово, лонсдейлит, CdI<sub>2</sub>, Li<sub>2</sub>O, I<sub>2</sub>, H<sub>2</sub>, CsCl, Cu<sub>3</sub>Au, вюрцит, NiAs,  $\alpha$ –N<sub>2</sub>, NbS<sub>2</sub>, He, Ge, серый мышьяк, Zn,  $\alpha$ –Po, ромбическая сера, TiO<sub>2</sub> анатаз,  $\alpha$ –Fe, Hg.
- 2. В тернарном соединении  $A_m B_n X_p$  катионы A и анионы X расположены по мотиву флюорита, а катионы B занимают оставшиеся пустоты в этом мотиве. Определите состав соединения и геометрию координационного окружения катионов B анионами X.
- 3. По данной проекции элементарной ячейки определите структурный тип соединения. Изобразите проекцию элементарной ячейки в общепринятом для данного структурного типа виде. Приведите примеры веществ, относящихся к этому типу.

$$a = b = c$$
,  $\alpha = \beta = \gamma = 90^{\circ}$ 



- 4. Расположение атомов в кристаллах титаната стронция соответствует структурному типу перовскита. Параметр элементарной ячейки a = 3.9 А. Оцените анионный радиус кислорода. Ответ поясните с помощью проекции элементарной ячейки.
- 5. По сингонии и координатам атомов изобразите проекцию элементарной ячейки кристалла. Определите состав и структурный тип соединения, мотив кристаллической структуры, число формульных единиц в ячейке и координацию атомов (координационные полиэдры и координационные числа).

Гексагональная сингония,  $\gamma = 120^{0}$ 

атом x/a y/b z/c

M(1) 2/3 1/3 1/4
M(2) 2/3 1/3 3/4
X(1) 1/3 2/3 1/2
X(2) 1 1 1

- 6.2. Типовые контрольные задания или иные материалы для проведения промежуточной аттестации по дисциплине (модулю), критерии и шкалы оценивания (в отсутствие утвержденных соответствующих локальных нормативных актов на факультете)
- 1. Операции и элементы симметрии. Закрытые элементы симметрии и их орбиты, взаимодействие элементов симметрии. Матрицы преобразований симметрии в двумерном и трехмерном пространстве. Собственные и несобственные вращения, хиральные фигуры.
- 2. Точечные группы операций симметрии в обозначениях Шенфлиса. Группы низшей категории симметрии. Семейства групп средней категории симметрии, порядки этих групп при порядке главной оси п. Стереографическая проекция. Группы высшей категории симметрии, их порядки и составляющие элементы. Симметрия правильных многогранников (платоновых тел). Формула Эйлера. Предельные точечные группы бесконечного порядка.
- 3. Точечные группы в обозначениях Германа-Могена. Инверсионные оси и их связь с зеркально-поворотными осями системы Шенфлиса. Перевод символов инверсионных осей и точечных групп из одной системы в другую. Орбита точечной группы, кратность орбиты и локальная симметрия ее точек. Понятие о простых формах. Симметрически независимая область фигуры.
- 4. Трансляционная симметрия и кристаллическая решетка. Элементарная ячейка кристалла, различные способы ее выбора (параллелепипед повторяемости, полиэдр Вороного-Дирихле); параметры ячейки. Обозначения примитивных и центрированных решеток. Фракционные координаты точек, индексы направлений и плоскостей в кристалле произвольной сингонии. Симметрически связанные направления и формы. Матрица Грама. Кристаллографические элементы симметрии в 2D- и 3D-случаях. Сингонии, решетки Браве и кристаллографические точечные группы в двумерном и трехмерном случаях; классы Лауэ. Связь кристаллографического класса со свойствами на примере полярных и хиральных кристаллов.
- 5. Открытые элементы симметрии, их происхождение, обозначения и действие. Плоскости скользящего отражения, энантиоморфные и неэнантиоморфные винтовые оси. Взаимодействие элементов симметрии порядка 2 с перпендикулярными и наклонными трансляциями. Особенности взаимодействия с участием осей порядка выше 2. Взаимодействие кристаллографических (закрытых и открытых) элементов симметрии.
- 6. Пространственные группы, их связь с решетками Браве и кристаллографическими классами. Симморфные и несимморфные группы, пары энантиоморфных групп. Системы эквивалентных позиций (орбиты) пространственных групп, кратность орбиты. Частные и общие положения в кристалле. Подгруппы пространственных групп. Информация о пространственных группах, содержащаяся в т. 1 Интернациональных Таблиц.
- 7. Построение графиков групп триклинной, моноклинной и орторомбической сингоний. Особенности центрировки (А- и С-) в классе mm2. Стандартная и нестандартные установки. Выбор начала координат в пространственной группе. Принципы построения символов и графики отдельных групп тригональной, тетрагональной и гексагональной сингоний. Диагональные и апофемальные элементы симметрии. Кубизация групп орторомбической и тетрагональной сингоний.
- 8. Принцип работы и спектр рентгеновской трубки. Тормозное излучение и характеристические линии. Синхротронное излучение, выработка рентгеновского СИ в ускорителе электронов (накопительном кольце). Дифракция рентгеновского излучения на кристалле. Формула Брегга, кристаллы-монохроматоры. Блок-схема рентгеновского дифрактометра. Мозаичное строение реального кристалла, зависимость полуширины рефлекса от размера области когерентного рассеяния, формула Шерера.
- 9. Межплоскостные расстояния и индексы рефлексов, понятие об обратной решетке. Связь индексов hkl с межплоскостными расстояниями, индицирование дифрактограмм. Использование порошковых дифрактограмм в рентгенофазовом анализе. Относительные интенсивности рефлексов, корундовое число. Банк порошковых данных ICDD. Закон Фриделя и систематические погасания рефлексов.
- 10. Атомный фактор рассеяния. Интегральные интенсивности рефлексов и комплексные структурные амплитуды  $F_{hkl}$ . Понятие о проблеме фаз и методах расшифровки кристаллических структур. Основные этапы рентгеноструктурного анализа монокристаллов (PCA). Отношение

числа наблюдаемых рефлексов к числу варьируемых параметров, изотропное и анизотропное приближения, R-фактор. Представление данных PCA в химических статьях. Банки структурных данных (ICSD, CSD): поиск и обработка содержащейся в них структурной информации.

- 11. Основы колебательной спектроскопии, проблемы динамики неорганических систем, характеризующихся большими амплитудами колебаний и существенным ангармонизмом, и использование теории возмущений при их теоретическом (базирующемся на квантовомеханических расчетах силовых полей) и полуэмпирическом анализе
- 12. Задача о взаимодействии излучения с веществом в рамках математического аппарата теории представлений точечных и пространственных групп, проблемы интерпретации спектров твердых тел, связанные с необходимостью учета макроскопических эффектов, искажающих оптические свойства кристаллов.
- 13. Типы межатомных взаимодействий (металлическое, кулоновское, ковалентное, ионное). Строение металлов, плотные и плотнейшие шаровые упаковки, размеры пустот. Металлические радиусы. Маккеевская икосаэдрическая упаковка мягких сфер. Структурные типы Cu, Mg,  $\alpha$ –Fe,  $\alpha$ –Po. Многослойные упаковки, последовательность плотнейших слоев в металлах. Искажения идеальных упаковок в структурах Zn, Cd, In, Hg. Твердые растворы замещения Cu–Au, фазовый переход с упорядочением. Структура интерметаллидов Cu<sub>3</sub>Au, CuAu и Nb<sub>3</sub>Sn (« $\beta$ –W»). Фазы Юм-Розери и Лавеса. Твердые растворы внедрения в структурах карбидов, нитридов и гидридов металлов, карбиды вольфрама. Правило Хейга.
- 14. Ковалентные связи и невалентные взаимодействия в структурах неметаллов. Структуры алмаза, лонсдейлита, гексагонального графита, кристаллических  $Cl_2$  ( $I_2$ ), кристаллических инертных газов. Принципы строения ромбоэдрического графита, кристаллических  $\alpha$   $N_2$ ,  $\beta$ – $N_2$ ,  $H_2$ . Слоистые соединения внедрения графита. Мотивы из атомов и молекул в неметаллах подгруппы бора, углерода, фосфора и серы. Соотношение длин связей и несвязывающих контактов в кристаллах простых веществ при движении сверху вниз по подгруппе в Периодической системе.
- 15. Бинарные соединения, построенные по принципу плотной упаковки анионов с катионами в пустотах. Структурные типы CsCl, NaCl, ZnS (сфалерит, вюрцит), NiAs, CaF<sub>2</sub>, TiO<sub>2</sub> (рутил): упаковки атомов и заполнение пустот в них, примеры соединений. Строение  $C_{60}M_3$ ,  $C_{60}M_6$  (M металл) и Na<sub>3</sub>As. Корундовый мотив заполнения октаэдрических пустот в  $\alpha$ – $\square$ Al<sub>2</sub>O<sub>3</sub>, антикорундовый мотив заполнения пустот (AlF<sub>3</sub>). Твердые растворы замещения, рубин. Слоистые структуры LiOH и PbO (анти-LiOH), политипов CdI<sub>2</sub>, Cs<sub>2</sub>O (анти-CdCl<sub>2</sub>), MoS<sub>2</sub> и NbS<sub>2</sub>, галогенидов и гидроксидов MX<sub>3</sub>. Ионные радиусы.
- 16. Структуры бинарных соединений с ковалентным связыванием. Структуры BN (кубический и гексагональный),  $Cu_2O$ , PtS,  $MgB_2$ . Принципы строения HgS (киноварь, метациннабарит),  $BeCl_2$ ,  $PdCl_2$ ,  $FeS_2$  (пирит, марказит),  $CaC_2$ ,  $CaSi_2$ ,  $LaB_6$ . Фазы Цинтля. Мостиковая координация  $\mu_n$ -галогенидных и  $\mu_n$ -халькогенидных лигандов. Кластерные фрагменты  $M_4(\mu_3-X)_4$ ,  $M_6(\mu_3-X)_8$  и  $M_6(\mu_2-X)_{12}$  в низших галогенидах и халькогенидах переходных металлов, фазы Шевреля. Принципы строения полиморфных модификаций  $SiO_2$  (кварц,  $\beta$ -тридимит,  $\beta$ -кристобалит, стишовит) и ионного проводника  $\alpha$ -AgI.
- 17. Сверхструктурное упорядочение в «бинарных» структурных типах (ильменит  $FeTiO_3$ , халькопирит  $CuFeS_2$ ). Структурные типы перовскита  $ABO_3$  и  $ReO_3$ , структура  $Na_xWO_3$ . Принципы строения нормальных и обращенных шпинелей, примеры соединений. Нестехиометрические шпинели (тип  $\gamma$ – $Al_2O_3$ ).
- 18. Координационные полиэдры, отвечающие к.ч. 3-10, их симметрия. Принципы строения молекулярных оксидов и галогенидов, тип  $SnI_4$ . Строение  $CH_4$ ,  $NH_3$ , HCl. Геометрические характеристики водородных связей (сильных, средних и слабых). Принципы строения льда Ih и Ic и водных клатратов.
- 19. Мотивы бинарных соединений в структурах безводных солей. Принципы строения  $KClO_4$ ,  $K_2PtCl_6$ ,  $CaCO_3$  (кальцит, арагонит),  $CaWO_4$  ( $ZrSiO_4$ ). Упаковка анионов и координация атомов металла в оливине ( $Fe,Mg)_2SiO_4$ . Принципы строения гранатов  $A^{II}_3B^{III}_2(SiO_4)_3$  и  $Y_3Al_5O_{12}$  (YAG). Координация анионов и свойства солей в рядах нитраты—карбонаты—бораты, перхлораты—

сульфаты—фосфаты. Неорганические сегнетоэлектрики  $(KH_2PO_4)$ , перовскиты) антисегнетоэлектрики  $(NH_4H_2PO_4)$ .

И

20. Островные, цепочечные, ленточные, слоистые и каркасные мотивы из конденсированных тетраэдров в структурах силикатов и алюмосиликатов. Структурные мотивы в тортвейтите  $Sc_2Si_2O_7$ , берилле  $Be_3Al_2(Si_6O_{12})$  и изумруде. Сетка кагоме. Пироксеновые цепочки  $[Si_2O_6^{4^-}]_{\infty}$ , амфиболовые ленты  $[Si_4O_{11}^{4^-}]_{\infty}$ , бесконечные слои  $[Si_2O_5^{2^-}]_{\infty}$ , содалитовый фонарь  $[Si_{12}Al_{12}O_{48}]^{12^-}$  в содалите  $Na_8[Si_6Al_6O_{24}]Cl_2$ , гидросодалите  $Na_8[Si_6Al_6O_{24}](OH)_2$ , ультрамарине  $(Na_*Ca)_8[Si_6Al_6O_{24}](SO_4^{2^-},S^{2^-},Cl^-)$ . Принципы строения талька, глин и слюд, цеолитов. Островные и цепочечные мотивы в структурах боратов. Конденсированные октаэдры в островных изополи- и гетерополианионах, структура Кеггина  $M_{12}X^{n^+}O_{40}^{(8-n)^-}$  (где  $M=M_0$ ,  $W; X^{n^+}=Si^{IV}$ ,  $Ge^{IV}$ ,  $P^V$ ,  $As^V$ ).

- 21. Молекулярные кристаллы органических соединений. Стандартные длины одинарных и кратных связей С–С. Ковалентные и ван-дер-ваальсовы радиусы основных элементов-органогенов: С, H, O, N, F, Cl, Br. Атом-атомные потенциалы и принцип плотной упаковки молекул. Коэффициент заполнения k и молекулярное координационное число (МКЧ). Строение кристаллов из квазисферических (метан, адамантан), длинноцепочечных (н-алканы) и уплощенных молекул (бензол, нафталин). Стопки и паркетные слои молекул в кристаллах.
- 22. Характерные элементы симметрии и преобладающие пространственные группы для органических соединений. Структурные классы. Полиморфизм и твердые растворы органических соединений. Пространственные группы кристаллов из хиральных молекул и рацематов. Понятие о ротационных и жидкокристаллических фазах.
- 23. Комплексы с переносом заряда и ион-радикальные соли. Особенности кристаллических структур с H-связями: k, МКЧ,  $T_{\text{пл}}$  и  $T_{\text{кип}}$ ; островные, цепочечные и слоистые мотивы. Соли карбоновых кислот, гидрофобное взаимодействие.
- 24. Строение координационных и металлоорганических соединений. Плотная упаковка лигандов в координационной сфере атома металла. Псевдовращение Берри (PF<sub>5</sub>). Кристаллические структуры  $PCl_5=PCl_4^+PCl_6^-$  и  $PBr_5=PBr_4^+Br_-^-$ . Толмановский угол как характеристика стерических свойств лиганда. Понятие о молекулярных кристаллах с особыми свойствами (проводниках, магнетиках, сегнетоэлектриках). Пайерлсовский переход в кристаллах.
- 25. Принципы строения полимеров и биополимеров. Кристаллические полиэтилен и полиацетилен. Конформационная карта элементарного звена, спираль и статистический клубок. Полисахариды, степень кристалличности, дендримеры. Общие принципы строения белковых макромолекул (соединение пептидных остатков и их конформационные параметры; первичная, вторичная и третичная структура). Конформации α-спирали и β-листа. Фибриллярные, мембранные и глобулярные белки. Плотная упаковка элементов вторичной структуры на «поверхности» белковой глобулы. Понятие о РСА белков на синхротронном излучении.
- 7. Ресурсное обеспечение:
- 7.1. Перечень основной и дополнительной литературы Основная литература:
- 1. П.М.Зоркий, Симметрия молекул и кристаллических структур, МГУ, 1986.
- 2. П.М.Зоркий, Н.Н.Афонина, Симметрия молекул и кристаллов, МГУ, 1979.
- 3. Т.В.Богдан, Основы рентгеновской дифрактометрии. Учебно-методическое пособие к общему курсу кристаллохимии. М.: Химфак МГУ, 2012.
- 4. Г.Б.Бокий, Кристаллохимия, 3-е изд. М.: Наука, 1971.
- 5. А.Вест, Химия твердого тела, М., Мир, 1988; т.1.
- 6. Г.Кребс, Основы кристаллохимии неорганических соединений, М., Мир, 1971.
- 7. К. Накамото. ИК спектры и спектры КР неорганических и координационных соединений. М., Мир, 1991.
- 7.2. Перечень лицензионного программного обеспечения, в том числе отечественного производства (подлежит обновлению при необходимости)

# База структурных данных ICSD

- 7.3. Описание материально-технического обеспечения. аудитория с доской, компьютерный проектор, компьютерный класс
- 8. Соответствие результатов обучения по данному элементу ОПОП результатам освоения ОПОП указано в Общей характеристике ОПОП.
- 9. Разработчик (разработчики) программы. д.х.н., проф. Ю.Л. Словохотов